



БИООРГАНИЧЕСКАЯ ХИМИЯ

том 12 * № 2 * 1986

УДК 547.963.32.02

СИНТЕЗ 5'-БИОТИНИРОВАННЫХ ОЛИГО- И ПОЛИНУКЛЕОТИДОВ И ИЗУЧЕНИЕ СОСТАВА ИХ КОМПЛЕКСОВ С АВИДИНОМ *

Бросалина Е. Б., Грачев С. А.

Новосибирский институт биоорганической химии
Сибирского отделения Академии наук СССР

Предлагается эффективная методика получения 5'-биотинированных (через $\text{NH}_2(\text{CH}_2)_n\text{NH}_2$ -мостик, где $n=3-5$) олиго- и полинуклеотидов. Исследована стехиометрия их комплексов с авидином и показано, что с авидином может связаться не более двух молекул 5'-биотинированного олиго- или полинуклеотида. Комплекс 5'-биотинированного додекануклеотида с комплементарной одноцепочечной ДНК денатурирует при добавлении авидина.

Олиго- и полинуклеотиды, несущие биотиновую группу, начинают широко использоваться в качестве специфических зондов при выявлении нуклеиновых кислот гибридизацией. Впервые их получение описано в работе [1], где РНК спиравли с биотинированным цитохромом с помощью формальдегида. Введение биотина в РНК осуществляли также после окисления 3'-концевого нуклеотидного звена и присоединения по образовавшимся альдегидным группам алкилдиамина или полиамина [2, 3]. В ДНК [4, 5] и дезоксирибоолигонуклеотиды [6] биотиновую метку вводят, используя биотиновый аналог тимидинтрифосфата. Недавно описано присоединение биотина через аминоэтанольный остаток к 5'-концевой фосфатной группе мононуклеотида и использование полученного соединения в олигонуклеотидном синтезе [7]. В работе [8] продемонстрирована возможность введения остатков биотина в ДНК с помощью фотоактивируемого аналога биотина.

Для выявления биотиновых производных нуклеиновых кислот используют свойство биотина образовывать прочный комплекс с авидином ($K=10^{-15}$) или стрептавидином ($K=10^{-14}$) — четырехсубъединичными белками, имеющими центры связывания биотина в каждой из субъединиц [9]. После образования комплекса авидин — нуклеиновая кислота к нему добавляют биотинированный фермент (обычно фосфатазу или пероксидазу) и проявляют образовавшийся тройной комплекс хромогенным субстратом, образующим под действием фермента окрашенный продукт.

Цель настоящей работы — разработка простой методики введения концевой биотиновой метки в олигонуклеотиды, изучение комплексов таких производных с авидином и комплементарной одноцепочечной ДНК.

Синтез биотинированных олигонуклеотидов (Bio-олигонуклеотидов) проводили по схеме, приведенной на с. 249.

5'-Концевую фосфатную группу активировали обработкой хлорангидридом мезитиленкарбоновой кислоты; полученный смешанный ангидрид обрабатывали алифатическим диамином $\text{NH}_2(\text{CH}_2)_n\text{NH}_2$, где $n=3-5$ [10]. Присоединение биотина по 5'-концевой алифатической аминогруппе осуществляли действием N-оксисукциниimidного эфира биотина, синте-

* В работе использованы олигонуклеотиды дезоксирияда, поэтому префикс «d» для простоты опущен.

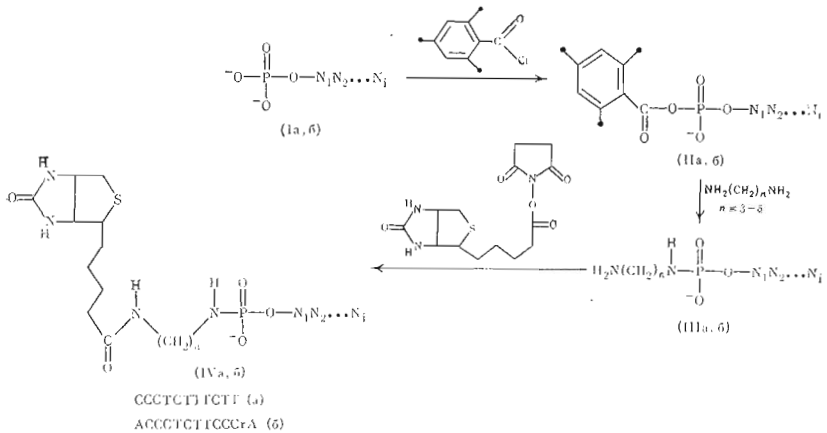


Схема синтеза 5'-биотиновых производных олигонуклеотидов следующей структуры: CCCTCTTCTT (a) и ACCCTCTTCCCrA (б)

зирированного по [11]. Продукты реакций на всех стадиях анализировали микроколоночной ионообменной хроматографией (рис. 1). Выход Bio-олигонуклеотидов после проведения всех реакций составляет 90–95% и зависит в основном от выхода на первой стадии — получения смешанного ангидрида олигонуклеотида.

Для изучения свойств Bio-олигонуклеотидов эти производные также были получены после предварительного введения в олигонуклеотиды 5'-коццевой ^{32}P -метки с помощью T4-полинуклеотидкиназы и [γ - ^{32}P]АТР. В этом случае продукты реакций анализировали гель-электрофорезом в денатурирующих условиях (рис. 2).

Наличие биотиновой группы в составе Bio-олигонуклеотида было доказано связыванием с авидином. Как известно [12], авидин имеет четыре попарно сближенных центра связывания биотина, расположенных на противоположных сторонах молекулы. Наличие объемного заместителя по карбоксильной группе биотина (в нашем случае олигонуклеотида) должно приводить к блокированию соседнего биотинсвязывающего центра авидина. Так, добавление большого избытка авидина (рис. 3) вызывает образование продукта с очень низкой электрофоретической подвижностью в ПААГ в денатурирующих условиях, что, очевидно, обусловлено присоединением к Bio-олигонуклеотиду объемной положительно заряженной белковой молекулы ($M = 68\,000$). При уменьшении соотношения авидин: Bio-олигонуклеотид до 1 и ниже образуется еще один продукт, имеющий несколько большую подвижность в геле, а первый продукт исчезает (рис. 3). Других продуктов не обнаружено. Очевидно, продукт, образующийся при больших избытках авидина, представляет собой комплекс авидина и Bio-олигонуклеотида состава 1:1; комплекс, образующийся при относительном избытке Bio-олигонуклеотида, имеет состав 1:2. По-видимому, стерически доступными для связывания биотиновой группы олигонуклеотида действительно являются лишь два центра, расположенные на противоположных сторонах молекулы авидина.

Далее нами было исследовано образование комплекса Bio-олигонуклеотида (IVб) с комплементарным участком одноцепочечной ДНК длиной 303 нуклеотида (ДНК-303). Этот фрагмент получали гидролизом рестриктазой *Bam*HI одноцепочечной ДНК фага M13 mp 7, содержащей вставку по *Pst*I-сайту фрагмента ДНК — аналога участка РНК вируса клещевого энцефалита. Возможность отщепления нуклеазами рестрикции одноцепочечных фрагментов ДНК, клонированных в составе ДНК фага M13 mp 7, была продемонстрирована в работе [13].

Ранее было показано [14], что ДНК-303, полученная описанным выше способом, строго специфически взаимодействует с комплементарным ей олигонуклеотидом (Iб), несущим алкилирующую группу (аналог азотистого иприта) на 5'-коццевом фосфатном остатке. При этом образу-

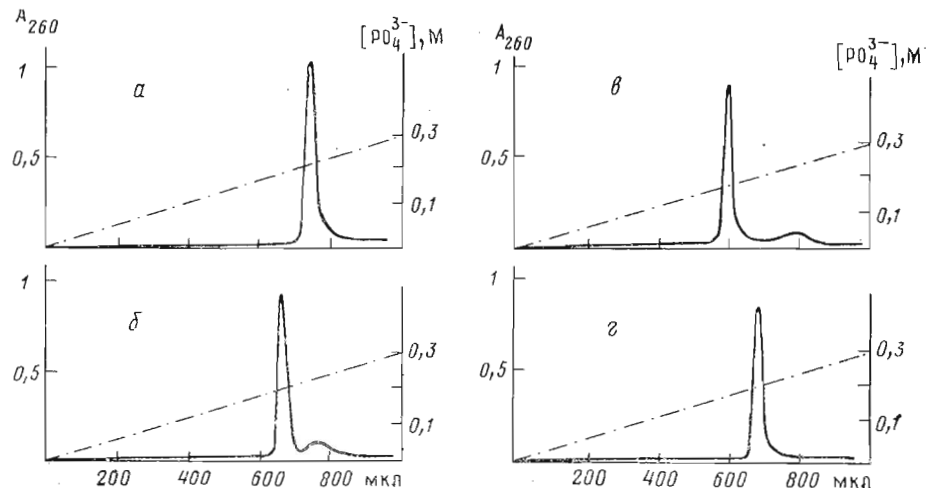


Рис. 1. Хроматографическое разделение продуктов на различных стадиях синтеза 5'-биотинированного олигонуклеотида (IVa). Хроматографию проводили на колонке объемом 20 мкл со смолой Partisil-10SAX в градиенте калий-фосфатного буфера, рН 6,3. Скорость элюции 50 мкл/мин, детекция при 260 нм на микроспектрофотометре «Объя». *а* – исходный олигонуклеотид (IVa), *б* – реакционная смесь после обработки его мезитиленкарбонилхлоридом (IIa), *δ* – продукт взаимодействия активированного ангидрида с пропилендиамином (IIIa), *ε* – 5'-биотинированный олигонуклеотид (IVa)

ются продукты алкилирования ДНК-303 по стерически доступным, расположенным вблизи алкилирующей группы гетероциклическим основаниям. Таким образом, в этой работе было показано, что данный олигонуклеотид способен реагировать в комплементарном комплексе с соответствующим участком одноцепочечной ДНК.

На рис. 4 изображена возможная вторичная структура 5'- и 3'-концевых областей ДНК-303. 3'-Концевой участок показан после введения ^{32}P -радиоактивной метки по *Bam*III-сайту с помощью ДНК-полимеразы А и дезоксирибонуклеозидтрифосфатов dGTP, dATP и [α - ^{32}P]TTP. Олигонуклеотид (Iб) комплементарен ДНК-303 в районе нуклеотидов 32–43 от 3'-конца фрагмента. Для подтверждения существования в этом районе изображенной на рисунке шпильечной структуры фрагмент был подвергнут частичному гидролизу микрококковой нуклеазой. По завершении гидролиза продукты разделяли денатурирующим гель-электрофорезом в денатурирующих условиях в присутствии контрольной смеси продуктов расщепления после частичной апуринизации по методу [15]. Полученные результаты позволили выявить сайты преимущественного гидролиза на этом участке ДНК-303, что схематически изображено на рис. 4.

В недавно опубликованной работе [16] детально исследовано действие некоторых эндонуклеаз (в том числе и микрококковой) на модельные двухцепочные и содержащие шпильку одноцепочные фрагменты ДНК. Положение точек расщепления ДНК-303 не противоречит результатам этой работы и находится в соответствии с предлагаемой вторичной структурой данного участка фрагмента.

Затем частичный гидролиз ДНК-303 был проведен в присутствии додекануклеотида (Iб) или его биотинового производного (IVб) (рис. 5). Видно, что картина гидролиза меняется существенно в обоих случаях и сходным образом. На рис. 4 обозначены точки повышения и понижения чувствительности фрагмента к действию нуклеазы. Полученные результаты я в этом случае находятся в соответствии с данными работы [16] и позволяют, таким образом, сделать вывод о существовании правильного комплементарного комплекса олигонуклеотид – ДНК.

Добавление авидина к комплексу (Iб) – ДНК-303 в количестве, эквимолярном по отношению к олигонуклеотиду, не изменяет картины гидролиза. Добавление же авидина к комплексу (IVб) – ДНК-303 приводит

1 2 3 4 5
Старт

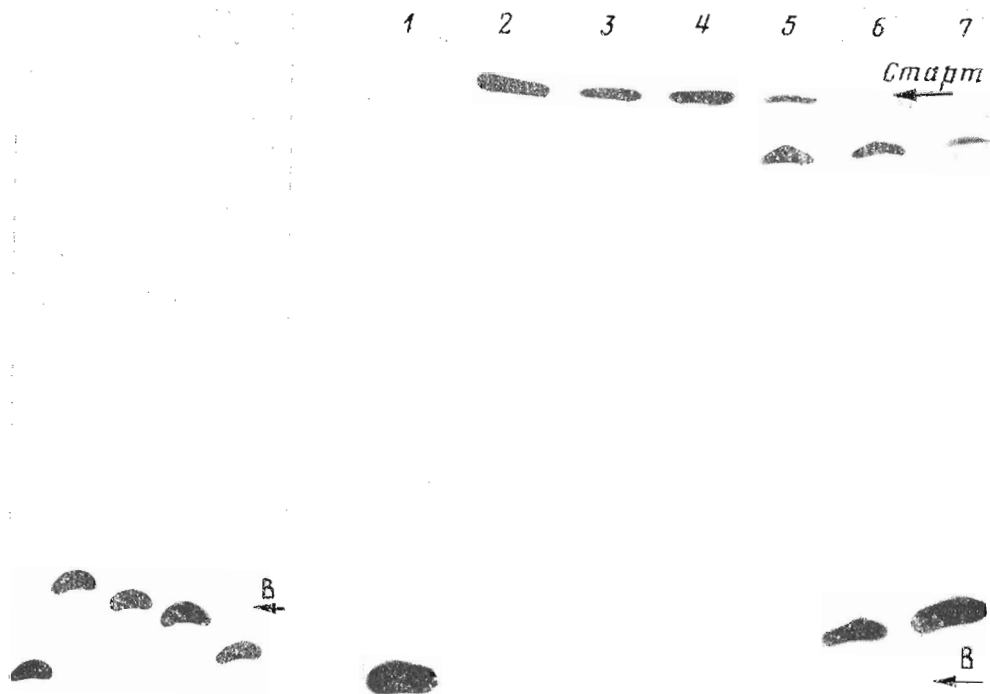


Рис. 2

Рис. 3

Рис. 2. Электрофоретическое разделение продуктов, полученных на разных стадиях синтеза $[5'-^{32}\text{P}]$ -5'-биотинированного олигонуклеотида (IVa), очищенных с помощьюmonoобменной хроматографии. Электрофорез проводили в 16% ПААГ (1/30 бис-акриламида) в 0,1 М трис-борате (рН 8,3), 1 мМ EDTA в 7 М мочевине. 1, 5 – исходный олигонуклеотид (Ia); 4 – смешанный ангидрид (IIa); 3 – пропилендиаминовое производное (IIIa); 2 – Bio-олигонуклеотид (IVa). В – положение бромфенолового синего

Рис. 3. Гель-электрофоретический анализ продуктов взаимодействия Bio-олигонуклеотида (IVa) с авидином. Условия электрофореза как на рис. 2. 1 – Bio-олигонуклеотид (IVa); 2–7 – титрование Bio-олигонуклеотида (IVa) (0,5 пмоль в 10 мкл 10 мМ трис-HCl, pH 7,5) авидином (1 мкл авидина с концентрацией соответственно 2,5; 1,25; 0,61; 0,3; 0,15; 0,075 пмоль/мкл в 10 мМ бикарбонате натрия). В – положение бромфенолового синего

к разрушению комплекса и восстановлению картины гидролиза не вовлеченного в комплекс одноцепочечного фрагмента ДНК. Таким образом, связывание авидина с Bio-олигонуклеотидом сильно дестабилизирует его комплекс с одноцепочечной ДНК.

Для изучения стерических возможностей образования комплексов двухцепочечной биотинированной ДНК с авидином нами была проведена достройка Bio-олигонуклеотида (IVb) на ДНК-303 в качестве матрицы с помощью ДНК-полимеразы А и четырех dNTP. При этом образуется двухцепочечный (кроме 30 нуклеотидов, предшествующих месту связывания олигонуклеотида) фрагмент ДНК (дцДНК-303). Предварительно нами было показано, что в присутствии ограниченного набора dNTP Bio-олигонуклеотид (IVb) достраивается на фрагменте ДНК с образованием ожидаемых по длине продуктов, щелочелабильных из-за наличия на 3'-конце олигонуклеотидной затравки рибонуклеотидного звена (данные не приведены).

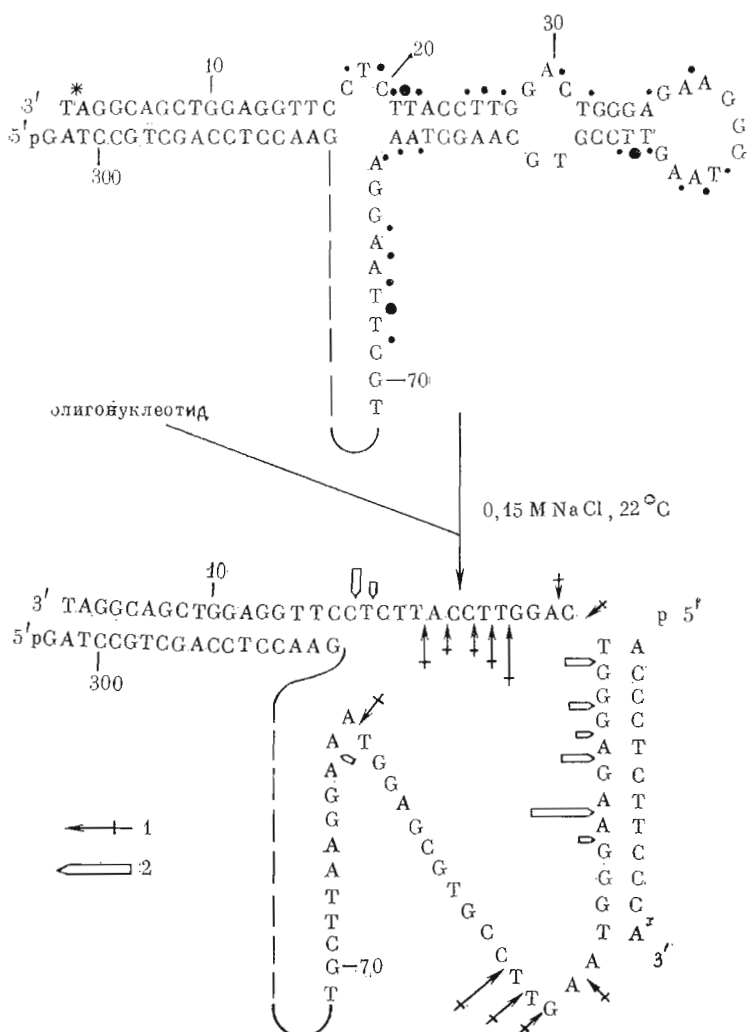


Рис. 4. Предполагаемая структура участка ДНК-303, включающая последовательность, комплементарную олигонуклеотиду (Iб). Обозначены места отщепления микрококковой нуклеазой, сайты усиления (1) и ослабления (2) гидролиза после добавления олигонуклеотида (Iб). Линейные размеры условных знаков качественно соответствуют степеням расщепления фрагмента

На рис. 6 показана картина накопления двухцепочечного фрагмента дДНК в процессе элонгации ДНК-полимеразой А. Видно, что дДНК-303 имеет значительно большую подвижность в ПААГ без добавления мочевины, чем одноцепочный фрагмент-матрица. По завершении полимеризации дуплекс выделяли гель-электрофорезом и использовали для изучения его комплексов с авидином.

Продукты титрования дДНК-303 различными количествами авидина были анализированы гель-электрофорезом в неденатурирующих условиях (рис. 7). При добавлении избытка авидина образуется эквимолярный комплекс, имеющий несколько меньшую подвижность в геле, чем исходный дуплекс. При уменьшении соотношения авидин: дДНК-303 наблюдается формирование еще одного комплекса с низкой подвижностью в геле. Судя по подвижности в геле и выбранному соотношению авидин: дДНК-303, этот комплекс должен иметь состав 1:2. Других продуктов, как и в случае титрования биотинированного олигонуклеотида авидином, нами не обнаружено. Полученный результат также свидетельствует о стерической доступности лишь двух биотинсвязывающих центров в молекуле авидина.

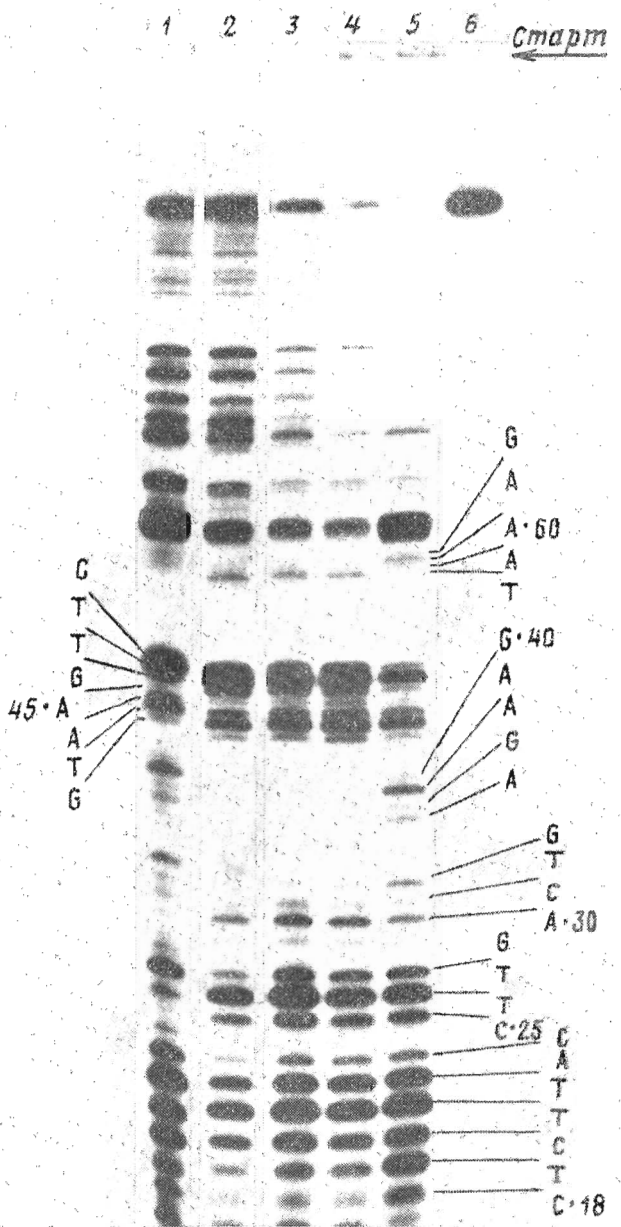


Рис. 5. Гель-электрофоретическое разделение в 12% ПААГ (условия см. на рис. 2) продуктов частичного гидролиза ДНК-303 и его комплексов олигонуклеотидами микрококковой нукleaseй. Олигонуклеотид добавляли в 30-кратном (мольном) избытке по отношению к гидролизуемой ДНК, avidin — в эквимолярном количестве по отношению к олигонуклеотиду. 1 — частичный гидролиз ДНК-303; 2 — ДНК-303 в присутствии олигонуклеотида (Iб); 3 — ДНК-303 в присутствии Bio-олигонуклеотида (IVб); 4 — ДНК-303 в присутствии олигонуклеотида (Iб) и avidina; 5 — ДНК-303 в присутствии Bio-олигонуклеотида (IVб) и avidina; 6 — интактный фрагмент ДНК-303

В литературе [9, 17] уже приводились данные о стерических затруднениях при связывании с молекулой авидина более чем двух остатков биотина с присоединенным по карбоксильной группе объемным заместителем. Однако мы не нашли подобных данных в отношении биотинированных различным образом молекул ДНК. Более того, в недавней публикации [18] подразумевается наличие трех доступных для связывания биотина центров после присоединения авидина к биотинированным по положению 5 остаткам тимидина в ДНК. Из наших данных однозначно вытекает, что при присоединении авидина к биотиновым группам на

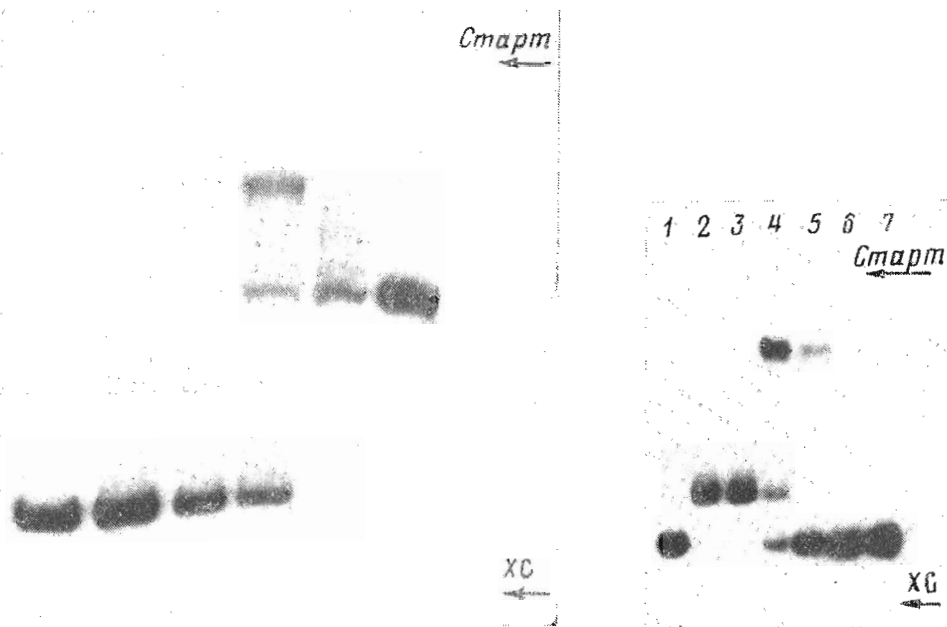


Рис. 6

Рис. 7

Рис. 6. Разделение продуктов элонгации Bio-олигонуклеотида (IVб) на ДНК-303 в присутствии четырех dNTP с помощью ДНК-полимеразы A. Справа налево: 0, 5, 15, 25, 40, 70 мин инкубации. Гель-электрофорез в 5% ПААГ (1/30 бис-акриламида) в 0,1 М трис-борате (рН 8,3), 1 мМ EDTA. ХС — положение ксиленцианапола FF

Рис. 7. Анализ продуктов взаимодействия биотинированной по 5'-концу короткой цепи дДНК-303 с авидином. Условия электрофореза как на рис. 6. 1 — дДНК-303; 2—7 — титрование дДНК уменьшающимися в 2 раза для каждой последующей дорожки количествами авидина. Условия образования комплекса как на рис. 3, но концентрации ДНК и авидина ниже на 2 порядка

ДНК или олигонуклеотидах, а также, очевидно, и к достаточно объемным молекулам биотинированных ферментов, используемых при гибридизации, необходимо считать молекулу авидина имеющей два центра связывания, а не четыре.

При проведении гибридизации необходимо учитывать также не только несколько меньшую стабильность комплементарных комплексов биотинированных олигонуклеотидов, как это показано в работе [7] по понижению температуры плавления, но и еще большее понижение стабильности комплекса после связывания с авидином. Так, в работе [14] олигонуклеотид (Iб), несущий алкилирующую группу, был способен модифицировать ДНК в комплементарном комплексе даже при 37° С в 0,15 М NaCl, однако комплекс этого же 5'-биотинированного олигонуклеотида с ДНК после добавления авидина не был обнаружен нами уже при 20° С в 0,15 М NaCl.

Экспериментальная часть

В работе использованы акриламид, бис-акриламид, трис, EDTA (Serva, ФРГ); биотин, dNTP (Sigma, США); [α -³²P]TTP, [γ -³²P]ATP (Изотоп, СССР); Partisil 10SAX (Whatman, США); СМ-целлюлоза (Bio-Rad, США); сефадексы G-10, G-25 (Pharmacia, Швеция); нукlease из стафилококка (Calbiochem, Швеция); T4-полинуклеотидкиназа (НИКТИ БАВ, Бердск).

Синтез Bio-NH(CH₂)₃NH_pCCCTCTTCTT (IVa). К раствору 23 нмоль ундекануклеотида (Ia) в 50 мкл 90% водного пиридина добавляли 10 мкл хлорангидрида мезитиленкарбоновой кислоты и выдерживали 40 мин при 20° С. Затем к реакционной смеси добавляли 1 мл воды и мезитиленкарбоновую кислоту экстрагировали эфиром (4×1 мл). Водный слой концент-

рировали экстракцией *n*-бутанолом и упаривали досуха. Сухой остаток растворяли в 50 мкл 10% водного пиридина, добавляли 3 мкл (50 мкмоль) пропилендиамина и выдерживали 2 ч при 56°С. Нуклеотидный материал отделяли от пропилендиамина и пиридина гель-фильтрацией на сепадексе G-10 (элюция водой). Олигонуклеотид (IIIa) выделяли с помощью ионообменной хроматографии в условиях, указанных на рис. 1, и обессоливали вновь на сепадексе G-10.

Раствор олигонуклеотида (IIIa) в воде концентрировали до объема 180 мкл, добавляли 20 мкл 1 М бикарбоната натрия, 10 мкл N-оксисукцинимидного эфира биотина (0,1 мг/мл) в диметилформамиде и выдерживали 1 ч при 20°С. По завершении реакции биотинированный олигонуклеотид отделяли от низкомолекулярных компонентов реакционной смеси гель-фильтрацией на сепадексе G-10 в воде.

Анализ продуктов (Ia)–(IVa) проводили микроколоночной ионообменной хроматографией (рис. 1). Выход Bio-олигонуклеотида, по данным микроколоночной хроматографии, составил 90% (относительно исходного олигонуклеотида).

Достройка Bio-олигонуклеотида (IVb) на фрагменте ДНК-303 и титрование авидином. [³²P]меченный фрагмент ДНК-303 получали как описано в работе [14]. Достройку Bio-олигонуклеотида (IVb), синтезированного аналогично олигонуклеотиду (IVa), и олигонуклеотида (Ib) на ДНК-303 проводили в присутствии всех четырех dNTP (0,1 мМ) при концентрации ДНК 5·10⁻⁸ М, олигонуклеотида 2,5·10⁻⁶ М в 10 мМ трис-HCl-буфере (рН 7,5), 0,05 М NaCl, 10 мМ MgCl₂, 0,1 мМ β-меркаптоэтаноле, добавив в инкубационную смесь 5 ед. ДНК-полимеразы А (фрагмент Клевнова). Реакцию завершали через 70 мин при 20°С добавлением раствора EDTA до 10 мМ (рис. 6).

дДНК-303 очищали гель-электрофорезом, экстрагировали из геля 2 М LiClO₄, как описано в работе [19], концентрировали экстракцией *n*-бутанолом и выделяли гель-фильтрацией на сепадексе G-50 (элюция 10 мМ трис-HCl (рН 7,5), 0,05 М NaCl). Концентрацию дДНК-303 определяли по данным микроколоночной хроматографии (одновременно с гель-фильтрацией) и с помощью титрования известными количествами авидина (рис. 7).

Частичный гидролиз микрококковой нуклеазой проводили в 10 мМ трис-HCl (рН 7,5), 0,15 М NaCl, 10 мМ MgCl₂, 10 мМ CaCl₂, 0,1 мМ β-меркаптоэтаноле при 20°С. Время гидролиза и количество фермента, необходимое для частичного расщепления, подбирали экспериментально. Реакцию останавливали добавлением раствора EDTA, рН 8,0, до концентрации 10 мМ. Продукты анализировали гель-электрофорезом в 12% ПААГ в денатурирующих условиях [16] (рис. 5).

Выделение авидина. Использовали комбинацию описанных методов [20–21] с некоторыми изменениями. Личный белок разбавляли равным количеством воды и проводили сорбцию белка на добавляемую последовательно тремя порциями СМ-целлюлозу (как в работе [20]). СМ-целлюлозу каждый раз отделяли от супернатанта центрифугированием в течение 10 мин при 10 000 об/мин. СМ-целлюлозу тщательно суспендировали и промывали 20 объемами 50 мМ ацетата аммония, повторяя циклы центрифугирования и суспендирования. Процедуру промывки повторяли, используя 50 мМ ацетат натрия (рН 9,0) и затем карбонат аммония (рН 9,0). Элюцию белка осуществляли гомогенизацией целлюлозы в 5–10 объемах 1% бикарбоната аммония (рН 9,0). Дальнейшую очистку проводили на биоцин-сепарозе, как описано в [21].

Авторы выражают благодарность Е. М. Ивановой, В. В. Горну, И. В. Кутявину и М. А. Подыминогину (НИБХ, Новосибирск) за представление олигонуклеотидов, М. М. Бакланову — за препарат рестриктазы *Bam*H I, С. Х. Дегтяреву (ВНИИМБ, Кольцово) — за препарат ДНК-полимеразы.

Перед направлением статьи в печать появилась работа A. Chollet и E. H. Kawashima (Nucl. Acid. Res., 1985, т. 13, № 5, р. 1529–1541), в которой предложен альтернативный способ синтеза 5'-биотиновых производ-

ных олигонуклеотидов с гексаметилендиамишновым мостиком (через 5'-фосфоимидазольное производное) и продемонстрирована возможность использования фосфамидных производных для гибридизации.

ЛИТЕРАТУРА

1. Manning J. E., Hershey N. D., Broker T. R., Pellegrini M., Davidson N. Chromosoma (Berlin), 1975, v. 53, № 2, p. 107–117.
2. Broker T. R., Angerer L. M., Yen P. H., Hershey N. D., Davidson N. Nucl. Acids Res., 1978, v. 5, № 3, p. 363–384.
3. Soda A., Davidson N. Nucl. Acids Res., 1978, v. 5, № 3, p. 385–401.
4. Langer P. R., Waldrop A. A., Ward D. C. Proc. Nat. Acad. Sci. USA, 1981, v. 78, № 11, p. 6633–6637.
5. Leesey J. J., Brigati D. J., Ward D. C. Proc. Nat. Acad. Sci. USA, 1983, v. 80, № 6, p. 4045–4049.
6. Murosgui A., Wallace B. DNA, 1984, v. 3, № 3, p. 269–276.
7. Kempe T., Sundquist W. J., Chow F., Shin Lok Hu. Nucl. Acids Res., 1985, v. 13, № 1, p. 45–57.
8. Forster A. C., McInnes J. L., Skingle D. C., Symons R. H. Nucl. Acids Res., 1985, v. 13, № 3, p. 745–761.
9. Green N. M. In: Advances in protein chemistry/Eds Anfinsen C. B., Edsall J. T., Richards F. M. N. Y.—L.: Acad. Press, 1975, v. 29, p. 85–133.
10. Горух М. Б., Иваюевская М. Г., Вейко В. П., Шабарова З. А. Биоорганическая химия, 1981, т. 7, № 9, с. 1310–1317.
11. Heitzmann H., Richards F. M. Proc. Nat. Acad. Sci. USA, 1974, v. 71, № 9, p. 3537–3541.
12. Green N. M., Konieczny L., Toms E. J., Valentine R. C. Biochem. J., 1971, v. 126, p. 781.
13. Patton J. R., Chi-Bom Chae. Anal. Biochem., 1982, v. 126, p. 231–234.
14. Бросалина Е. Б., Грачев В. В., Кутявин Н. В., Малаев С. В., Плетнёв А. Г. Докл. АН СССР, 1985, т. 285, № 6.
15. Коробко В. Г., Грачев С. А. Биоорганическая химия, 1977, т. 3, № 10, 1420–1422.
16. Drew H. R. J. Mol. Biol., 1984, v. 176, № 2, p. 535–557.
17. Safer D., Hainfeld J., Wall I. S., Reardon J. E. Science, 1982, v. 218, № 4569, p. 290–291.
18. Malcolm S. Nature, 1982, v. 300, № 5888, p. 108.
19. Бараев Г. И., Грачев С. А. Биоорганическая химия, 1985, т. 11, № 10, с. 1420–1422.
20. Melamed M. D., Green N. M. Biochem. J., 1963, v. 89, № 3, p. 591–599.
21. Guatrecas P., Wilchek M. Biophys. and Biochem. Res. Commun., 1968, v. 33, № 2, p. 235–239.

Поступила в редакцию
14.VI.1985

THE SYNTHESIS OF 5'-BIOTIN-LABELLED OLIGO- AND POLYNUCLEOTIDES AND INVESTIGATION OF THEIR COMPLEXES WITH AVIDIN

BROSALINA E. B., GRACHEV S. A.

Novosibirsk Institute of Bioorganic Chemistry, Siberian Division
of the Academy of Sciences of the USSR, Novosibirsk

An effective method for preparation of 5'-biotinylated oligo- and polynucleotides (via $\text{NH}(\text{CH}_2)_n\text{NH}$ spacers, $n=3-5$) has been developed. The stoichiometries of complexes of these derivatives with avidin were determined. It was shown that no more than two molecules of a 5'-biotinylated oligo- or polynucleotide could be attached to one molecule of avidin. Binding of avidin to the complex of a 5'-biotinylated dodecanucleotide with complementary single-stranded DNA caused its dissociation.